

愛媛大学工学部 正員 伊福 誠
愛媛大学工学部 正員 齋藤忠男
愛媛大学大学院 学生員 栗原 薫

1. はじめに 海浜の漂砂移動量はほとんど碎波帯において生じているといわれているが、碎波帯での水理現象の複雑さおよびその測定の困難さなどの理由により、現地観測に基づく浮遊漂砂に関する研究は極めて少ないのが現状である。こうしたことから本研究は、1983年1月8日、愛媛県松山市の梅津寺海岸で得た圧力変動、流速および浮遊砂濃度の記録から碎波帯における浮遊漂砂に関する基礎的資料を得ようとしたものである。

2. 観測方法 図-1 に示すように、電磁誘導型流速計3台（内1台圧力計内蔵）および散乱光方式濃度計を海岸堤防から沖合約120mに設置した。流速計は架台に取り付け、コンクリート製ブロックで海底に固定した。流速計のセンサは、それぞれ、海底上7.65.5および98.5cmの高さにあり、圧力計および濃度計は、それぞれ、海底上72.5および4cmの高さにある。なお、観測期間中の平均水深は2.03mである。

3. 解析結果 浮遊砂濃度：図-2 は圧力変動、岸冲方向の流速、浮遊砂濃度および岸冲浮遊漂砂量の経時変化を示したものである。この図をみると、圧力変動が大きいところでは岸冲方向の流速変動も大きくなり、それに伴い浮遊砂濃度および岸冲浮遊漂砂量も大きくなっている。また、観測期間中の浮遊砂濃度が海底上4cmの高さで250 ppm以上であることから、シルトあるいは比較的小粒径の砂粒子が碎波帯では常に浮遊していると考えられる。圧力波形の1周期内での浮遊砂濃度の最大値と圧力波形の峰および海底上7cmの高さでの岸向流速の最大値との位相差は、それぞれ、π/4 および π/10 程度である。また、浮遊砂濃度の最大値は、波高水深比、摩擦係数および Komar - Müller (1973) が定義した non-dimensional relative stress と相関があるようであり、岸冲方向の水平水粒子の加速度が大きくなると浮遊砂濃度の変化率も大きくなる。

漂砂の移動様式、移動方向および漂砂量：

Engelund (1965) および Buijker - Wicher (1971) が定義した漂砂の移動様式と実測値を比較すると、移動様式は浮遊砂が卓越する範囲である。海底から7cmの高さでの流速が濃度計の高さ4cmよりそれとほぼ等しいと仮定して、岸冲および沿岸浮遊漂砂量を式(1) および (2) で定義する。

$$q'_{\text{cross}} = \frac{1}{T_r} \int_0^{T_r} C_u dt \quad (1)$$

$$q'_{\text{long}} = \frac{1}{T_r} \int_0^{T_r} C_v dt \quad (2)$$

ここで、 T_r は記録の長さ、 C および v は、それぞれ、岸冲および沿岸方向の流速成分、 C は浮遊砂濃度である。図-3 は上式で定義した岸冲および沿岸浮遊漂砂量の経時変化を示したものである。その移動方向は、それぞれ、沖向きおよび南向きであり、岸冲浮遊漂砂量は沿岸浮遊漂砂

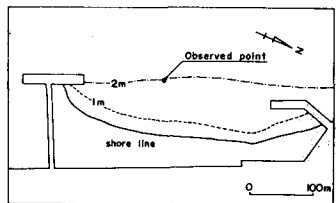


図-1 梅津寺海岸概略図

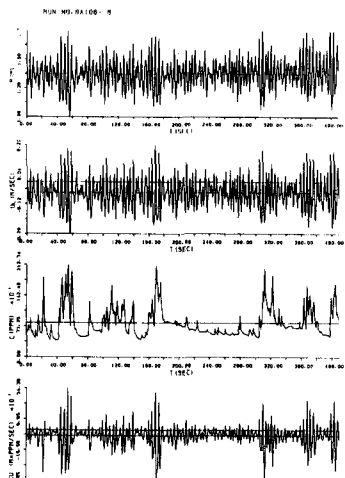


図-2 圧力変動、岸冲方向の流速、浮遊砂濃度および岸冲浮遊漂砂量の経時変化

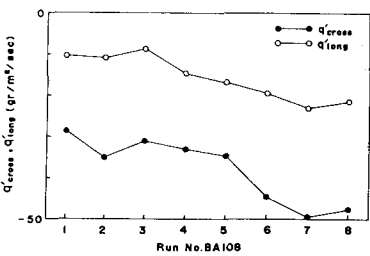


図-3 岸冲および沿岸浮遊漂砂量

量の2.1～3.4倍程度である。

鉛直拡散係数：本間・堀川・小坂・渡辺(1966)は

福島海岸で sand trap により、また野田(1967)は

大潟海岸で sand trap と採水器で採取した浮遊砂

量とともに鉛直拡散係数を求めている。著者らは、

4方向から捕砂可能な捕砂器を製作し、それで得

た浮遊砂量から鉛直拡散係数を求めるとき同時に、

岸沖方向や沿岸方向の平均流速の鉛直分布からそ

れぞれ鉛直拡散係数を求めた。図-4中の△、⊕と○が△と■、

⊕と●は、それぞれ、沈降速度を浮遊砂の中央粒径および底質の中央

粒径から得たものである。浮遊砂量および平均流速の鉛直分布から求

めた鉛直拡散係数は両者とも本間らおよび野田のそれとよく似た値で

あり、とくに、浮遊砂の中央粒径の沈降速度を採用した鉛直拡散係数

は、海底近傍で本間らのものとよく似ているようである。また、平均

流速の鉛直分布から求めた鉛直拡散係数と混合距離 l との関係は

$$\bar{E}_z = 0.025 l^{1.246} \text{ (m - sec 単位)} \quad \text{など關係があり, two particle analysis}$$

からあさいは Richardson(1926) が天気において経験的に導いた拡散係数

は現象スケールの $4/3$ 乗に比例するといふ關係とはほぼ一致している

ようである。浮遊砂濃度から求めた Kármán の定数と鉛直拡散係数：

海底上 4cm の高さでの浮遊砂濃度から志村(1957)に従って求めた Kármán の定数はほぼ 0.36 であり純水の場合より 10% 小さい。岸(1964)によると鉛直拡散係数は次式で表わされる。

$$\bar{E}_z = K d \tilde{U}_B^* (z + z_0) \quad (3)$$

ここで \bar{E}_z : Kármán の定数, d : 比例係数, z : 海底からの高さ, z_0 : roughness length,

$$\tilde{U}_B^* = \frac{8}{3\pi} U_B^* (U_B^* : \text{海底からの最大摩擦速度}) \text{ である。式(3)中で Kármán の定数を上記}$$

の 0.36, roughness length を Bakker(1973) に従い砂れん高の 0.03 倍, d を 0.25 とすると

と本間ら、野田および著者らの観測結果と一致する。

圧力変動、岸沖方向の流速および浮遊砂濃度のパワースペクトル：図-5 は圧力変動、

7cm の高さでの岸沖方向の流速および浮遊砂濃度のパワースペクトル, coherency

および位相差を示したもので、ピーク周波数はいずれも 0.2 Hz であり, coherency

は 0.8 以上である。0.2 Hz のピーク周波数より高周波側では、圧力変動、岸沖

方向の流速および浮遊砂濃度のエネルギー密度は、それぞれ、周波数の -5 乗、

-6 乗および -3.5 乗に比例し、浮遊砂濃度のエネルギー密度の減衰の割合が小さい。

また、7cm の高さでの岸沖方向の流速と浮遊砂濃度から得られる浮遊漂砂量のパワースペクトルは、岸沖方向の流速のそれに似ており coherency も全周波

数にわたってかなり高く位相差もほとんどないことから、浮遊漂砂量は岸沖方

向の流速に關係している。

岸沖方向の流速の physical spectra と浮遊砂濃度：図-6 は上部より周波数が 0.059,

0.195, 0.215 および 0.449 Hz の岸沖方向の流速の physical spectrum と浮遊砂濃度を示したものである。

0.195 および 0.215 Hz のエネルギー密度が大きいところでは浮遊砂濃度も高くよく似た傾向をしていることから、底質の浮遊

は岸沖方向の流速のパワースペクトルのピーク周波数である 0.2 Hz 付近の流速成分と關係しているようである。

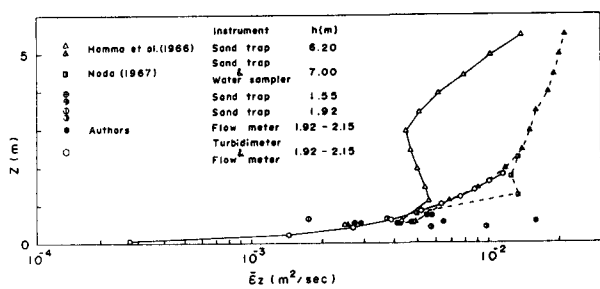


図-4 鉛直拡散係数

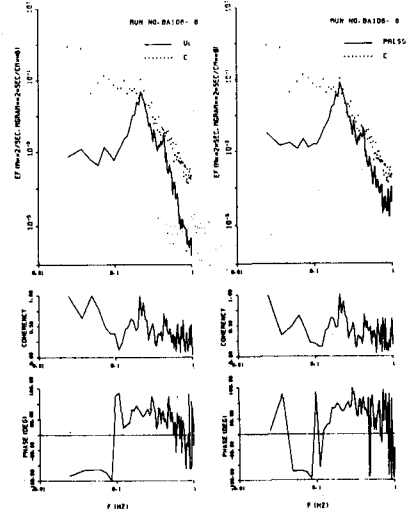


図-5 圧力変動、岸沖方向の流速および浮遊砂濃度のパワースペクトル, coherency および位相差

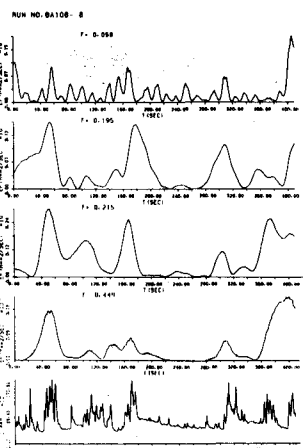


図-6 岸沖方向の流速の physical spectra と浮遊砂濃度